

ТЕХНИЧЕСКАЯ ТЕОРИЯ КРУЧЕНИЯ КОМПОЗИЦИОННОГО СЛОИСТОГО СТЕРЖНЯ ПРОИЗВОЛЬНОГО СЕЧЕНИЯ

© 2009 А.У. Нурымбетов

“МАТИ” – Российский государственный технологический университет, г. Москва

Поступила в редакцию 23.07.2009

Используя геометрические соотношения Коши, получено выражения для компонент тензора деформации при “обобщенном кручении” для слоя i многослойного стержня произвольного сечения. Решение уравнений при заданных граничных условиях отыскивается для каждого слоя i в виде степенного ряда. Получено разрешающие уравнения метода приближенных решений.

Ключевые слова: кручение, слоистый стержень, композиционный материал, обобщенное кручение.

В технике широкое применение находят многослойные конструкции, так как они, зачастую, наилучшим образом обеспечивают удельные жесткости и прочности, звуко и теплоизоляционные свойства, демпфирующие и вибропоглощающие характеристики изделий. Многослойную конструкцию изготавливают из таких компонентов, которые в совокупности обладают необходимыми физическими, химическими, электрическими и магнитными свойствами. Одним из распространенных составных тел являются многослойные стержни, образованные из n слоев. Многослойные стержни могут служить расчетной моделью многих реальных конструкций. Следовательно, изучение напряженно-деформированного состояния (НДС) многослойных стержней имеет практический интерес. Метод расчета стержней произвольного сечения, в основе которых лежала классическая теория тонких изогнуто-закрученных стержней Кирхгофа-Клебша, разрабатывались и развивались многими авторами [1]–[5], и другими. Однако в настоящее время не до конца разработаны методы расчета слоистых стержней произвольного сечения. Поэтому, рассматривается цилиндрический стержень из слоистого материала с поперечным сечением произвольной формы, находящийся под действием усилий, распределенных по концам стержня и приводящихся к скручивающему моменту M_t , изгибающим моментам M_1 , M_2 и растягивающей силе P . Область сечения предполагается конечной и односвязной. Оси x , y совпадают с главными осями инерции рассматриваемого текущего сечения и проходят через центр тяжести сечения. Текущая ось z нормальна к сечению (рис. 1).

СЛОИСТАЯ СТРУКТУРА СЕЧЕНИЯ

Оптимальные потенциальные возможности конструкций из композиционных материалов могут быть получены только тогда, когда получены объективные оценки НДС конструкции и соответствующих технологических процессов. Изучения НДС элементов конструкций, полученные достоверной информации позволяют не только оценить работоспособность конструкции, но внести необходимые изменения в технологический процесс. Наряду с экспериментальными методами исследования значительную роль играет в этом математическое моделирование поведения конструкции из композиционного материала в условиях, близких к реальным условиям функционирования. Математические модели, ориентированные на использование вычислительной техники, во многом способствуют рациональному проектированию и отработке конструкции. Применение трехмерных моделей позволяет с единой позиции рассмотреть каждый отдельный слой многослойного стержня.

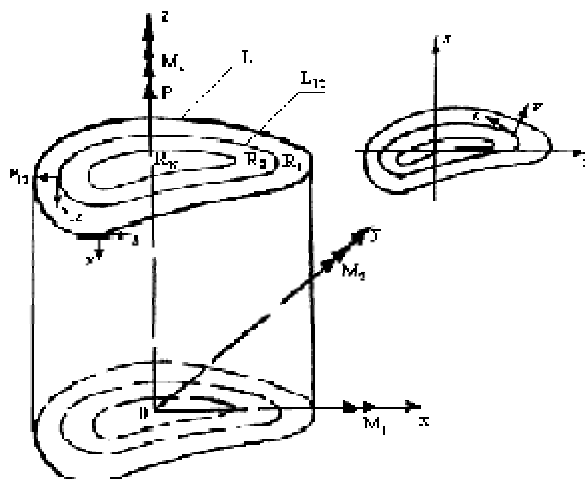


Рис. 1. Слоистый стержень.

Нурымбетов Алибек Усипбаевич, кандидат физико-математических наук, научный стажер кафедры “Механика машин и механизмов”. E-mail: alibek_55@mail.ru.

Одной из тенденций развития в решении прикладных задач является учет в расчетах реальных свойств компонентов, образующих композиционный материал, и реальные условия эксплуатации конструкции. Одним из факторов, которые следует учесть, является неоднородность материалов, как естественная, так и технологическая. Возможность более детального учета геометрии конструкции, действительных граничных условий, особенностей физического поведения материалов, а также зависимостей физико-механических характеристик от различных факторов появилась благодаря широкому развитию математических методов как аналитических, так и численных, повсеместному внедрению их в практику расчета.

В связи с этим для стержней постоянного и переменного сечения возникает специфическая для армированных стержней задача – задача укладки в сечении слоев постоянной толщины. Так как размеры сечений могут меняться вдоль длины стержня, то и число слоев в каждом сечении будет различным. В плоскости, содержащей ось стержня, отдельно слои представляются в виде лепестков. Взятые из разных сечений координаты начала и конца одного слоя образуют координаты одного лепестка, т.е. позволяет решить сформулированную задачу раскроя слоев ленты, ткани. В связи с этим решена технологическая задача раскроя таких лепестков [6].

Каждый слой представляет собой трансверсально-изотропное или ортотропное тело. Так как направление осей симметрии материала не совпадает с осями координат стержня и может меняться от слоя к слою, то физико-механические свойства слоев могут отличаться друг от друга. В связи с этим возникает необходимость определения приведенных механических характеристик поперечного сечения.

РАСЧЕТ ХАРАКТЕРИСТИК СЕЧЕНИЯ СЛОИСТОГО СТЕРЖНЯ

Наиболее часто используются следующие геометрические и физико-геометрические характеристики сечения стержня

$$I_{mn}^k = \int_F H^k(x, y) x^n y^m dx dy, \quad \begin{cases} 0 \leq n \leq 4, \\ 0 \leq m \leq 4, \end{cases} \quad (0 \leq n + m \leq 4) \quad (1)$$

Здесь физико-механические свойства $H^k(x, y)$ содержат различные параметры (например, модуль упругости, коэффициент Пуассона, модуль сдвига, коэффициент линейного расширения и т.д.) в зависимости от номера k . При $k=0$

$H^0(x, y)=1$ и интеграл (1) определяет геометрические характеристики сечения стержня. При $k=m=n=0$ интеграл I_{00}^0 равен площади поперечного сечения, т.е. $I_{00}^0 = F$.

В пункте 1 показывалось, каким образом сечения стержня представляется в виде отдельных слоев. Численное интегрирование соотношений (1) реализовано с помощью специально составленной программы на алгоритмическом языке Fortran. Сравнение численных результатов геометрических характеристик J_{mn}^i стержня с ромбовидным ($d1=120$ мм, $d2=20$ мм) и прямоугольным ($a=120$ мм, $h=20$ мм) сечением вычисленные по формуле (1), отличаются от точных их значений не более чем на 0,0001%.

После вычисления физико-геометрических характеристик сечения находятся центр тяжести сечения по формуле $x^* = I_{01}^0 / I_{00}^0, y^* = I_{10}^0 / I_{00}^0$, а также направление главных осей. В последующем используется новая, местная система координат x', y' , связанная со старой следующей зависимостью

$$\begin{aligned} x' &= (x-x^*) \cos \alpha^* + (y-y^*) \sin \alpha^*, \\ y' &= -(x-x^*) \sin \alpha^* + (y-y^*) \cos \alpha^* \end{aligned}$$

$$\cos 2\alpha^* = 1 / \sqrt{1 + \tan^2 2\alpha^*}, \quad \tan 2\alpha^* = 2I_{22}^0 / (I_{02}^0 - I_{20}^0) \quad (2)$$

С изменением координатной системы (параллельный перенос в центр тяжести и поворот относительно осей x и y) геометрические и физико-геометрические характеристики стержня произвольного сечения меняют величину.

В случае продольно-поперечной укладки слоев $\psi^i = 0$ или $\psi^i = 90$, в этих слоях физические соотношения между деформациями и напряжениями [7] упрощаются из-за отсутствия связанности сдвиговых и продольно-поперечных деформации и напряжений. В этом случае $a_{j5}^i = a_{46}^i = 0, (j=1,2,3)$ и кручение стержня является чистым [8-10]. Если угол армирования ψ^i в некотором слое i отличен от нуля, то исследуемая деформация стержня является “обобщенной” и кручение стержня, в частности, обуславливает появление эффектов изгиба при кручении.

ОБОБЩЕННОЕ КРУЧЕНИЕ КОМПОЗИЦИОННОГО СТЕРЖНЯ

При “обобщенном” кручении компоненты перемещения точек i -го слоя отыскиваются в виде

$$\begin{aligned} u^i &= -a_{33}^i M_1 (\ell - z) / (2J_1^i) - \tau (\ell - z) y + U^i(x, y), \\ v^i &= \frac{0.5a_{35}^i M_t - a_{33}^i M_2}{2J_2^i} (\ell - z) + \tau (\ell - z) x + V^i(x, y), \quad (3) \end{aligned}$$

$$w^i = \left[\frac{0.5a_{35}^i M_t - a_{33}^i M_2}{J_2^i} y - \frac{a_{33}^i M_1}{J_1^i} x - \frac{a_{33}^i P}{F_i} \right] (\ell - z) + W^i(x, y).$$

Здесь U^i, V^i, W^i – некоторые подлежащие определению функции координат сечения x, y, t – относительный угол закручивания на единицу длины стержня; ℓ – длина стержня; J_j^i ($j=1,2$) – главные моменты инерции поперечного сечения i -го слоя; F_i – площадь сечения i -го слоя; P, M_1, M_2, M_t – силы и моменты, действующие в поперечном сечении стержня. Как правило, последние (P, M_1, M_2, M_t) являются известными величинами, однако иногда встречаются случаи, когда их следует определить в ходе решения задачи.

Используя геометрические соотношения Коши из (3) можно получить выражения для компонент тензора деформации при “обобщенном кручении” для слоя i в виде

$$\begin{aligned} \varepsilon_{11}^i &= \partial U^i / \partial x; & \varepsilon_{22}^i &= \partial V^i / \partial y; \\ \varepsilon_{12}^i &= \partial U^i / \partial y + \partial V^i / \partial x; \\ \varepsilon_{33}^i &= \frac{a_{33}^i}{F_i} P + \frac{a_{33}^i}{J_1^i} x + \frac{a_{33}^i M_2 - 0.5 a_{33}^i M_t}{J_1^i} y; \end{aligned} \quad (4)$$

$$2\varepsilon_{13}^i = \tau y + \partial W^i / \partial x, \quad \varepsilon_{23}^i = -\tau x + \partial W^i / \partial y.$$

Следует заметить, что в (4) все компоненты тензора деформации не зависят от координат z . Если учесть представления (4), то уравнения равновесия $\sigma_{kj,j}^i + x_k^i = 0$ ($k, j=1,2,3$), где индекс после запятой означает дифференцирование по соответствующей координате, могут быть приведены к виду

$$\begin{aligned} \frac{\partial^2 U^i}{\partial x^2} + \frac{c_{66}^i}{2c_{11}^i} \frac{\partial^2 U^i}{\partial y^2} + \frac{2c_{12}^i + c_{66}^i}{2c_{11}^i} \frac{\partial^2 V^i}{\partial x \partial y} &= Z_1^i(x, y), \\ \frac{\partial^2 V^i}{\partial y^2} + \frac{c_{66}^i}{2c_{22}^i} \frac{\partial^2 V^i}{\partial x^2} + \frac{2c_{12}^i + c_{66}^i}{2c_{22}^i} \frac{\partial^2 V^i}{\partial x \partial y} &= Z_2^i(x, y). \end{aligned} \quad (5)$$

Здесь функция $Z_j^i(x, y)$ ($j=1, 2$) определяются следующими соотношениями

$$\begin{aligned} Z_1^i(x, y) &= -\frac{c_{13}^i a_{33}^i}{c_{11}^i J_1^i} M_1 - \frac{1}{c_{11}^i} (c_{15}^i \frac{\partial^2 W^i}{\partial x^2} + c_{46}^i \frac{\partial^2 W^i}{\partial y^2}), \\ Z_2^i(x, y) &= \frac{0.5 a_{35}^i M_t - a_{33}^i M_2 c_{23}^i}{c_{22}^i J_2^i} - \frac{(c_{25}^i - c_{46}^i)}{c_{22}^i} [\tau + \frac{\partial^2 W^i}{\partial x \partial y}], \\ \frac{\partial^2 W^i}{\partial x^2} + \frac{c_{44}^i}{c_{55}^i} \frac{\partial^2 W^i}{\partial y^2} &= Z_3^i(x, y), \quad (6) \\ Z_3^i(x, y) &= \frac{2c_{35}^i a_{33}^i}{c_{55}^i J_1^i} M_1 - \frac{2c_{15}^i}{c_{55}^i} \frac{\partial^2 U^i}{\partial x^2} - \\ &= \frac{c_{46}^i}{c_{55}^i} \frac{\partial^2 U^i}{\partial y^2} - \frac{c_{46}^i + 2c_{32}^i}{c_{55}^i} \frac{\partial^2 V^i}{\partial x \partial y}. \end{aligned}$$

Специальная форма уравнений равновесия

(5), (6) относительно составляющих U^i, V^i, W^i перемещений u^i, v^i, w^i ($i=1,2,\dots,N$) выбрана с целью перенести направо члены, обусловленные взаимодействием сдвиговых и продольно-поперечных деформаций. Действительно, если $c_{j5}^i = c_{46}^i = 0$ ($j=1,2,3$) [7], [10], что реализуется при углах армирования слоя i $\psi^i = 0^\circ$ или $\psi^i = 90^\circ$, то $\psi^i = 0^\circ$ $Z_3^i = 0$, а Z_1^i, Z_2^i зависят только от изгибающих моментов M_1, M_2 обуславливая возможность по отдельному определению W^i функции и функции U^i, V^i .

Дифференциальные уравнения (5), (6) должны быть решены при заданных условиях на боковой поверхности стержня, а также на его торцах. В сечениях стержня должны выполняться условия непрерывности перемещений W_i при переходе от слоя к слою.

а. Условия на боковой поверхности

Пусть на цилиндрической поверхности неоднородного анизотропного слоистого стержня заданы усилия X_v, Y_v, Z_v . Тогда в рассматриваемом сечении z условия на контуре L слоистой области запишутся в виде

$$\begin{aligned} \sigma_{11} \ell_1 + \sigma_{12} \ell_2 &= X_v, & \sigma_{12} \ell_1 + \sigma_{22} \ell_2 &= Y_v, \quad (7) \\ \sigma_{13} \ell_1 + \sigma_{23} \ell_2 &= Z_v. \end{aligned} \quad (8)$$

Здесь ν – направление нормали к ограничивающему рассматриваемое сечение контуру L (рис. 1). $\ell_1 = \cos(\nu, x) = \partial y / \partial \zeta$, $\ell_2 = \cos(\nu, y) = -\partial x / \partial \zeta$ – направляющие косинусы, которые написаны в предположении, что положительный обход области осуществляется так, что область при обходе всегда находится слева. Если параметры упругости [7] c_{55}^i и c_{46}^i равны нулю ($i=1,2,3$), что реализуется при $\varphi^i = 0^\circ$ или $\varphi^i = 90^\circ$ ($i=1,2,\dots,N$), то X_v^* и Y_v^* зависят только от изгибающих моментов M_1, M_2 , и тем самым, обуславливают возможность по отдельному определению граничных условия для функции U_i, V_i и W_i . Левые части условий (7), (8) характерны для задачи изгиба [10] и кручения анизотропных стержней [8-10].

б. Условия на поверхностях контакта анизотропных слоев слоистого стержня

Из условия сплошности равновесия бесконечно малого элемента, находящегося в окрестности линии раздела L_{kj} анизотропных слоев R_k и R_j , следует кинематические

$$U^k = U^j, \quad V^k = V^j, \quad W^k = W^j, \quad (9)$$

и статические соотношения

$$\begin{aligned} (\sigma_{11}^k - \sigma_{11}^j) \ell_1 + (\sigma_{12}^k - \sigma_{12}^j) \ell_2 &= 0; \\ (\sigma_{22}^k - \sigma_{22}^j) \ell_2 + (\sigma_{12}^k - \sigma_{12}^j) \ell_1 &= 0; \\ (\sigma_{13}^k - \sigma_{13}^j) \ell_1 + (\sigma_{23}^k - \sigma_{23}^j) \ell_2 &= 0. \end{aligned} \quad (10)$$

РАЗРЕШАЮЩИЕ УРАВНЕНИЯ МЕТОДА ПРИБЛИЖЕННЫХ РЕШЕНИЙ

В тех случаях, когда отношение c_{46}^i / c_{55} , c_{15}^i / c_{55} ($i=1,2,\dots,N$) оказывается меньшим 1, то, следуя работам [4], [12] в которых использовано разложение в ряд по малому физическому параметру, можно ввести один малый параметр

$$\alpha = \text{Sup}\{\alpha_{ij}\} \quad (11)$$

при данном значении угла. В (11) параметр жесткости c_{55} является эффективным параметром упругости сечения. В случае, когда значения параметра меньше 1, решение уравнений (5), (6) при граничных условиях (7)-(8) и (3) удобно отыскивать для каждого слоя i в виде степенного ряда

$$U^i = \sum_{j=0}^{\infty} \alpha_i^j \tilde{U}_j^i, \quad V^i = \sum_{j=0}^{\infty} \alpha_i^j \tilde{V}_j^i, \quad W^i = \sum_{j=0}^{\infty} \alpha_i^j \tilde{W}_j^i. \quad (12)$$

Если принятую форму решения (12) подставить в уравнение (5), то оно принимает вид

$$D_1 \tilde{W}_j^i = \left(\frac{\partial^2}{\partial x^2} + \frac{c_{44}^i}{c_{55}^i} \frac{\partial^2}{\partial y^2} \right) \tilde{W}_j^i = S_j, \quad (13)$$

в котором

$$S = -2 \frac{c_{35}^i a_{33}^i}{c_{55}^i} \frac{M_1}{J_1} \delta^1 - \left(2 \frac{c_{15}^i}{c_{55}^i} \frac{\partial^2}{\partial x^2} + \frac{c_{46}^i}{c_{55}^i} \frac{\partial^2}{\partial y^2} \right) \tilde{U}_j^i - \frac{c_{46}^i + 2c_{55}^i}{c_{55}^i} \frac{\partial^2 \tilde{V}_j^i}{\partial x \partial y}. \quad (14)$$

В равенстве (14) δ_j^1 символ Кронекера. Если функции \tilde{V}_j^i , \tilde{U}_j^i были предварительно определены, то уравнение (13) является неоднородным дифференциальным уравнением относительно \tilde{W}_j^i . Если же $j=0$, то $S_0=0$ и для определения \tilde{W}_0^i получается однородное уравнение.

Из $M_z^i = a_{33}^i \left(\frac{P}{I_{00}^i} + \frac{M_1}{I_{20}^i} x + \frac{M_2}{I_{02}^i} y \right) - 0.5 a_{35}^i \frac{M_t}{I_{02}^i} y$ и принятой формы решения (12) находится условие

$$\sum_{i=1}^N \iint_{F_i} \left[\frac{\partial(y \tilde{W}_j^i)}{\partial x} - \frac{\partial}{\partial y} \left(\frac{c_{44}^i}{c_{55}^i} x \tilde{W}_j^i \right) \right] dF = M_{tj}, \quad (15)$$

которому должно удовлетворять найденное решение уравнения на контуре L . На линиях раздела L_{ik} слоев R_i и R_k должны выполняться условия, $\tilde{W}_j^i = \tilde{W}_j^k$

$$\begin{aligned} & (c_{55}^i \frac{\partial \tilde{W}_j^i}{\partial x} - c_{55}^k \frac{\partial \tilde{W}_j^k}{\partial x}) \ell_1 + \\ & + (c_{44}^i \frac{\partial \tilde{W}_j^i}{\partial x} - c_{44}^k \frac{\partial \tilde{W}_j^k}{\partial x}) \ell_2 + \tilde{Z}_n^i - \tilde{Z}_n^k = 0 \end{aligned} \quad (16)$$

в которых приняты обозначения

$$\begin{aligned} \tilde{Z}_n^i = & c_{35}^i M_z^i \ell_1 + 0.5 (c_{55}^i y \ell_1 - c_{44}^i x \ell_2) \tau_0 + \\ & + (c_{15}^i \frac{\partial \tilde{U}_{j-1}^i}{\partial x} + c_{25}^i \frac{\partial \tilde{V}_{j-1}^i}{\partial y}) \ell_1 + 0.5 c_{46}^i \left(\frac{\partial \tilde{U}_{j-1}^i}{\partial y} + \frac{\partial \tilde{V}_{j-1}^i}{\partial x} \right) \ell_2. \end{aligned}$$

Здесь, ℓ_1 , ℓ_2 – направляющие косинусы нормали ν к линии раздела L слоев R_i и R_k . В (15) правая часть определяется равенством

$$\begin{aligned} M_{ij} = & \left[\frac{M_i}{c_{55}^i} - 0.5 (J_2^i + \frac{c_{44}^i}{c_{55}^i} J_1^i) \tau - \beta_{13}^i S_x T^i \right] \delta_j^0 - c_{35}^i M_z^i \delta_j^1 - \\ & \iint_{F_i} \left[2 \frac{\partial}{\partial x} \left(\frac{c_{15}^i}{c_{55}^i} y \tilde{U}_{j-1}^i \right) - \frac{\partial}{\partial y} \left(\frac{c_{46}^i}{c_{55}^i} x \tilde{U}_{j-1}^i \right) \right] dF_i - \\ & - \iint_{F_i} \left(\frac{c_{25}^i}{c_{55}^i} y \tilde{V}_{j-1}^i \right) - \frac{\partial}{\partial y} \left(\frac{c_{46}^i}{c_{55}^i} x \tilde{V}_{j-1}^i \right) dF_i, \end{aligned} \quad (17)$$

где $M_{zz}^i = a_{33}^i \left(\frac{I_{01}^i}{I_{00}^i} P + \frac{I_{11}^i}{I_{20}^i} M_1 \right) - 0.5 a_{35}^i M_t$. Пра-

вая часть условия (15) также как и правая часть уравнения (13) может быть найдена, если будут предварительно определены функции \tilde{U}_{j-1}^i и \tilde{V}_{j-1}^i для каждого слоя i . При $j=0$ выражение M_{t0} зависит от заданного крутящего момента M_t параметра кручения τ . Таким образом, при $j=0$ должно быть найдено решение задачи о чистом кручении (6). Решение задачи о чистом кручении анизотропных слоистых стержней можно получить аналитическими (для регулярных сечений) [10] и численными (метод конечных элементов) [11] методами.

Если решение отыскивается в виде (12), то функции \tilde{U}_j^i , \tilde{V}_j^i в соответствии с уравнениями (4) и (5) должны быть определены в результате решения системы неоднородных уравнений

$$\begin{aligned} \frac{\partial^2 \tilde{U}_j^i}{\partial x^2} + \frac{c_{66}^i}{2c_{11}^i} \frac{\partial^2 \tilde{U}_j^i}{\partial y^2} + \frac{c_{12}^i + c_{66}^i}{2c_{11}^i} \frac{\partial^2 \tilde{V}_j^i}{\partial x \partial y} = Q_j, \\ \frac{c_{12}^i + c_{66}^i}{2c_{22}^i} \frac{\partial^2 \tilde{U}_j^i}{\partial x \partial y} + \frac{c_{66}^i}{2c_{22}^i} \frac{\partial^2 \tilde{V}_j^i}{\partial x^2} + \frac{\partial^2 \tilde{V}_j^i}{\partial y^2} = T_j, \end{aligned} \quad (18)$$

в которых правые части определяются из равенств

$$\begin{aligned} Q_j = & - \frac{c_{13}^i a_{33}^i}{c_{11}^i} \frac{M_1}{J_1} \delta_j^0 - \\ & - \frac{c_{55}^i}{2c_{11}^i} \left(\frac{c_{55}^i}{c_{55}^i} \frac{\partial^2 \tilde{W}_j^i}{\partial x^2} + \frac{c_{46}^i}{c_{55}^i} \frac{\partial^2 \tilde{W}_{j-1}^i}{\partial y^2 x^2} \right), \\ T_j = & \frac{a_{35}^i M_t - 2a_{33}^i M}{2c_{22}^i} - c_{23}^i \delta_j^0 - \\ & - \frac{c_{55}^i}{c_{11}^i} \left(\frac{c_{25}^i - c_{46}^i}{2c_{55}^i} \tau \delta_j^1 - \frac{c_{46}^i}{2c_{55}^i} \frac{\partial^2 \tilde{W}_{j-1}^i}{\partial x \partial y} \right). \end{aligned}$$

Таким образом, если функции $\tilde{U}_j^i, \tilde{V}_j^i$ предварительно определены, то уравнения (18) должны быть решены при следующих граничных условиях:

$$\left(\frac{\partial \tilde{U}_j^i}{\partial x} + \frac{c_{12}^i}{c_{11}^i} \frac{\partial \tilde{V}_j^i}{\partial y}\right) \ell_1 + \frac{c_{66}^i}{c_{11}^i} \left(\frac{\partial \tilde{U}_j^i}{\partial y} + \frac{\partial \tilde{V}_j^i}{\partial x}\right) \ell_2 = M_{1j}^i,$$

$$\frac{c_{66}^i}{c_{11}^i} \left(\frac{\partial \tilde{U}_j^i}{\partial y} + \frac{\partial \tilde{V}_j^i}{\partial x}\right) \ell_1 + \left(\frac{c_{12}^i}{c_{22}^i} \frac{\partial \tilde{U}_j^i}{\partial x} + \frac{\partial \tilde{V}_j^i}{\partial y}\right) \ell_2 = M_{2j}^i,$$

а. На контуре L

$$M_{1j}^i = -\left(\frac{c_{13}^i}{c_{11}^i} M_i^i + \beta_{11}^i T^i\right) \ell_1 \delta_j^0 - \frac{c_{15}^i}{c_{11}^i} \left(\frac{c_{25}^i}{c_{55}^i} y \ell_1 - \frac{c_{46}^i}{c_{55}^i} x \ell_2\right) \delta_j^1 \tau -$$

$$-\frac{c_{55}^i}{c_{11}^i} \left(\frac{c_{15}^i}{c_{55}^i} \frac{\partial \tilde{W}_{j-1}^i}{\partial x} \ell_1 + \frac{c_{46}^i}{c_{55}^i} \frac{\partial \tilde{W}_{j-1}^i}{\partial y} \ell_2\right). \quad (19)$$

в которых введены дополнительные обозначения

$$M_{2j}^i = -\left(\frac{c_{23}^i}{c_{22}^i} M_i^i \ell_1 + \beta_{22}^i T^i \ell_2\right) \delta_j^0 - \frac{c_{25}^i}{c_{22}^i} \left(\frac{c_{25}^i}{c_{55}^i} y \ell_2 - \frac{c_{46}^i}{c_{55}^i} x \ell_1\right) \delta_j^1 \tau -$$

$$-\frac{c_{55}^i}{c_{22}^i} \left(\frac{c_{25}^i}{c_{55}^i} \frac{\partial \tilde{W}_{j-1}^i}{\partial x} \ell_2 + \frac{c_{45}^i}{c_{55}^i} \frac{\partial \tilde{W}_{j-1}^i}{\partial y} \ell_1\right) \quad (20)$$

В (20) $\ell_1 = \cos(\nu, x)$ и $\ell_2 = \cos(\nu, y)$ – направляющие косинусы нормали к контуру L.

б. На поверхностях контакта

$$\left(c_{11}^i \frac{\partial \tilde{U}_j^i}{\partial x} - c_{11}^k \frac{\partial \tilde{U}_j^k}{\partial x} + c_{12}^i \frac{\partial \tilde{V}_j^i}{\partial x} - c_{12}^k \frac{\partial \tilde{V}_j^k}{\partial y}\right) \ell_1 - (c_{11}^i M_{1j}^i - c_{11}^k M_{1j}^k) +$$

$$+ 0.5 \left(c_{66}^i \frac{\partial \tilde{U}_j^i}{\partial y} - c_{66}^k \frac{\partial \tilde{U}_j^k}{\partial y} + c_{66}^i \frac{\partial \tilde{V}_j^i}{\partial x} - c_{66}^k \frac{\partial \tilde{V}_j^k}{\partial x}\right) \ell_2 = 0,$$

$$0.5 \left(c_{66}^i \frac{\partial \tilde{U}_j^i}{\partial y} - c_{66}^k \frac{\partial \tilde{U}_j^k}{\partial y} + c_{66}^i \frac{\partial \tilde{V}_j^i}{\partial x} - c_{66}^k \frac{\partial \tilde{V}_j^k}{\partial x}\right) \ell_1 + (c_{22}^i M_{2j}^i - c_{22}^k M_{2j}^k) +$$

$$+ (c_{12}^i \frac{\partial \tilde{U}_j^i}{\partial x} - c_{12}^k \frac{\partial \tilde{U}_j^k}{\partial x} + c_{22}^i \frac{\partial \tilde{V}_j^i}{\partial y} - c_{22}^k \frac{\partial \tilde{V}_j^k}{\partial y}) \ell_2 = 0, \quad (21)$$

где $\ell_1 = \cos(\nu_{ik}, x)$, $\ell_2 = \cos(\nu_{ik}, y)$ – направляющие косинусы нормали к линии раздела L_{ik} слоев R_i и R_k . Правые части условия (18) будут полностью определены, если предварительно был установлен вид функции \tilde{W}_{j-1}^i . Вместе с тем, при j , равному нулю, как правые части уравнений (18), так и правые части условий (19) определяются независимыми от \tilde{W}_{j-1}^i факторами. Это обстоятельство совместно с замечаниями, касающимися уравнения (13) и соответствующих им граничных условий (15), говорит, что полученная разрешающая система уравнений (13), (18) является рекуррентной системой уравнений.

Действительно, при $j=0$ правая часть уравнения (13) равна нулю и при граничных условиях

(15) должно быть найдено решение задачи о чистом кручении, т.е. находится решение \tilde{W}_0^i для каждого слоя i . При $j=0$, как правые части уравнений (18), так и правые части условий (19) определяются значения $\tilde{U}_0^i, \tilde{V}_0^i$ для каждого слоя i . После подстановки предварительно определенные функции $\tilde{U}_0^i, \tilde{V}_0^i$ для каждого слоя i в правые части уравнения (13) и (15), из решения неоднородного дифференциального уравнения (13) относительно \tilde{W}_1^i , находится значение \tilde{W}_1^i для каждого слоя i . Так как функции \tilde{W}_0^i предварительно определены, то из решения неоднородного дифференциального уравнения (18) относительно $\tilde{U}_1^i, \tilde{V}_1^i$ находится значение $\tilde{U}_1^i, \tilde{V}_1^i$ для каждого слоя i .

Таким образом, по найденным функциям $\tilde{U}_1^i, \tilde{V}_1^i, \tilde{W}_1^i$ – система уравнений (13), (18) совместно с граничными условиями (15), (16), (19) и (21) позволяет математически сформулировать задачу для определения отдельно функции $\tilde{U}_j^i, \tilde{V}_j^i$, и отдельно функции \tilde{W}_j^i для каждого слоя i при следующем $j+1$ -ом приближении.

В работе [12] описан аналогичный способ для решения системы уравнений. Для решения системы уравнений используется метод последовательных приближений. Расчет заканчивается при достаточной близости результатов соседних приближений.

При $\alpha \ll 1$ ряд (12) быстро сходится к пределу. Поэтому принятая форма решения (12) выгодно отличается от решения предложенной в [12] тем, что позволяет непосредственно получить решения в перемещениях.

Однако, все же получение решения в такой схеме затруднено (получение численных результатов потребует большого объема машинного времени и памяти). Поэтому отдельно рассматривается задача о кручении слоистого анизотропного стержня [10, 11] и в рамках определенных кинематических предположении задача о НДС естественно-закрученных слоистых стержней произвольного сечения, находящихся в поле центробежных сил.

В качестве примера для решения задачи чистого кручения была рассчитана НДС компрессорной лопатки из композиционного материала. Лопасть, исследуемая в данной работе, представлена восемью сечениями. Корневое сечение лопатки состоит из 12 слоев одинаковой толщины $t_c = 0,4$ мм, а периферийное сечение из 6 слоев, т.е. **толщина лопатки** c_{max} к периферийному сечению уменьшается, а хорда b увеличивается (рис. 3). Относительный угол закрутки на единицу длины лопатки τ_0 равен 0.006 рад/мм

На рис. 2. приведен раскрой слоев ленты, ткани для этой лопатки в виде лепестков.

Было проведено исследование – для трех различных вариантов сочетаний упругих постоянных

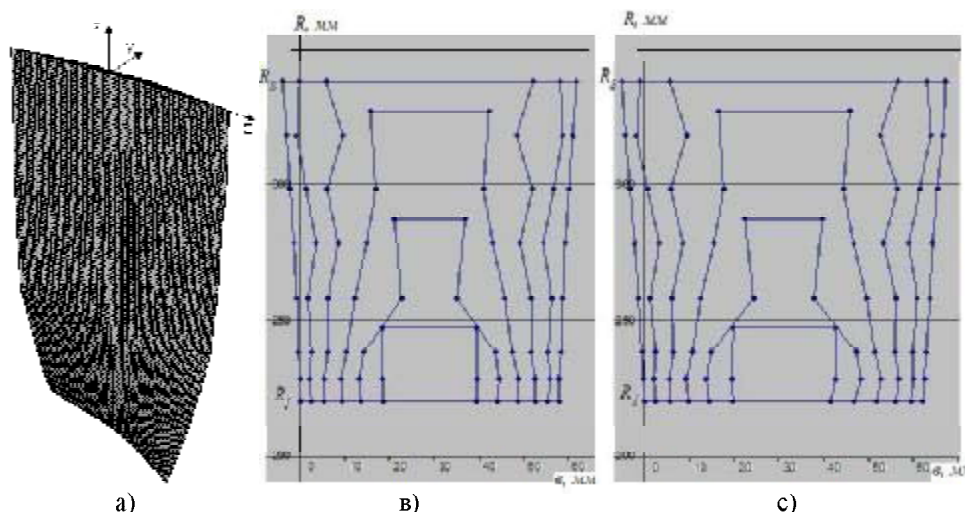


Рис. 2. Лепестки компрессорной лопатки (а), спинки (в), корытца (с)
(R – радиус сечения, z – длина хорды) из 8 сечений

ных в пакете слоев композиционной лопатки. В первом варианте рассматривалась лопатка, состоящая из чередующихся со стороны спинки и корытца слоев бороалюминия (BAL) и чистого алюминия. В этом случае относительное объемное содержание бороалюминия в пакете слоев составляло $\nu_1=0,55$, а алюминия – $\nu_2=0,45$. Во втором варианте рассматривалась лопатка, состоящая из чередующихся со стороны спинки и корытца слоев бороалюминия (BAL, $\nu_1=0,45$), керамики (Sic, $\nu_2=0,45$) и чистого алюминия ($\nu_3=0,1$). В третьем варианте рассматривалась лопатка, состоящая из чередующихся со стороны спинки и корытца слоев бороалюминия, уложенных под углами $\pm 45^\circ, \pm 30^\circ, \pm 15^\circ$ к оси лопатки. В этом случае относительное объемное содержание слоев бороалюминия, уложенных под углами $\pm 45^\circ$ к оси лопатки, составляло $\nu_1=0,4$, а при $\pm 30^\circ - \nu_2=0,4$ и $\pm 15^\circ - \nu_3=0,2$.

По результатам расчетов на рис. 3 построено семейство кривых, отражающих зависимости жесткости на кручение по Сен-Венану C_0 (линии 1-3), а также распределения касательного напряжения σ_{xz}, σ_{yz} и перемещения W для четвертого сече-

ния (рис. 4). Как показывают численные результаты максимальные значения перемещения W в лопатке достигаются на четвертом сечении.

На рис. 5. приведена поверхности распределения перемещений W в сечении лопатки с чередующимися слоями бороалюминия уложенных под углами $(+45^\circ, -45^\circ, +30^\circ, -30^\circ, +15^\circ, -15^\circ)$ и алюминия к оси стержня. В этом случае происходит неравномерное распределение перемещений во внутренних слоях бороалюминия армированных волокнами с различными углами армирования. Здесь наибольшее перемещение достигается в слоях кромки из бороалюминия армированных волокнами под углами $+45^\circ, -45^\circ$. В этом случае наибольшие касательные напряжения (точки А, В, С, D), по сравнению с значениями распределения касательного напряжения в слоях составленного из чередующихся слоев бороалюминия и алюминия (рис. 4), достигает своего значения вдали от входной и выходной кромки. Таким образом, можно избежать от опасных касательных напряжений у входной и выходной кромки лопатки с помощью армирования тонких слоев кромки волокнами под различными углами.

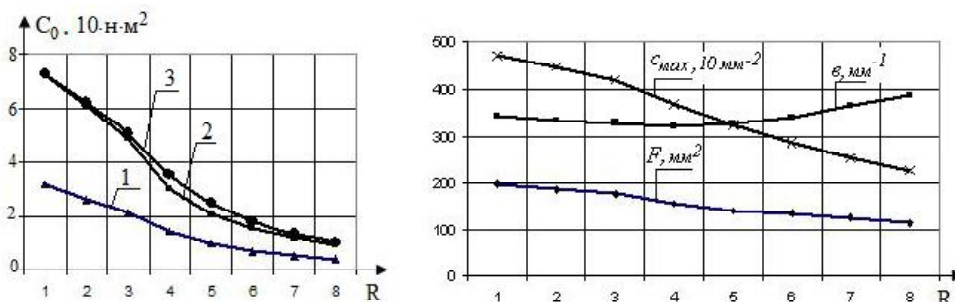


Рис. 3 Изменение жесткости на кручение C_0 , хорды l , площади F и σ_{max} по длине
(R – номер сечения) лопатки, составленных из чередующихся слоев из:
1 – бороалюминия и чистого алюминия; 2 – бороалюминия, керамики и алюминия; 3 – бороалюминия и алюминия, уложенных под углами $(+45^\circ, -45^\circ, +30^\circ, -30^\circ, +15^\circ, -15^\circ)$ к оси стержня

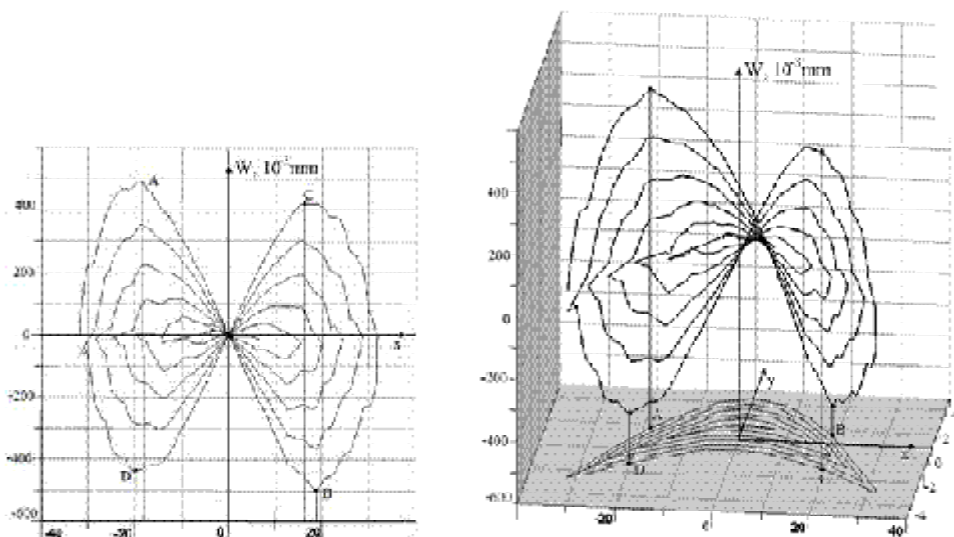


Рис. 4. Распределения перемещения W и напряжения σ_{yz} точек лопатки, составленных из слоев Bal-Al к оси лопатки

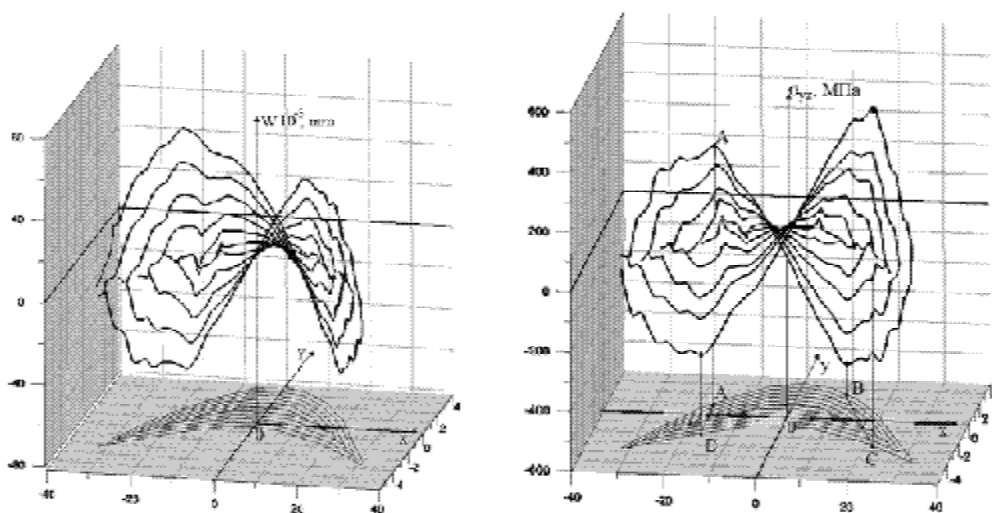


Рис. 5. Распределения перемещения W и напряжения σ_{yz} точек лопатки, составленных из слоев Bal(+45°, -45°, +30°, -30°, +15°, -15°)-Al к оси лопатки

Как видно из рис. 3 жесткость на кручение C_0 лопатки, составленной из чередующихся слоев однонаправлено-армированного бороалюминия и чистого алюминия (кривая 1) в 2.5 раза меньше жесткости C_0 лопатки, состоящей из чередующихся слоев бороалюминия, уложенных под углами $\pm 45^\circ$, $\pm 30^\circ$, $\pm 15^\circ$ к оси лопатки (кривая 3). Очевидно, варьируя углами укладки более жестких волокон, можно достичь еще более высоких уровней жесткости на кручение пера лопатки и равномерного распределения касательных напряжений.

Таким образом, в исследованных примерах показано, что путем выбора материала отдельных слоев или способа армирования в них можно в широких пределах управлять уровнями напряжений и деформаций при одних и тех же физических оборотах ротора.

СПИСОК ЛИТЕРАТУРЫ

1. Голубев О.Б. Обобщение теории тонких стержней // Труды ЛПИ им. М.И. Калинина. 1963. №226. С. 83-92.
2. Магомаев Л.Д. К теории кручения стержней с криволинейной осью // Прикладная механика. 1984. Т.20. №4. С. 68-74.
3. Воробьев Ю.С., Шор Б.Ф. Теория закрученных стержней. Киев: Наукова Думка, 1983. 186 с.
4. Саркисян В.С. Метод решения задачи обобщенного кручения стержней. // Механика. Вып. 3. 1983. С.27-31.
5. Биргер И.А. Пространственное напряжение состояние в лопатках начальной закруткой // Тр. ЦИАМ. 1982. №996. С. 7-23.
6. Нуримбетов А.У. Автоматизированное проектирование раскроя деталей произвольного поперечного сечения из слоистых композиционных материалов // Вестник РУДН. Серия "Инженерные исследования". 2009. №4. С.57-66.
7. Лехницкий С.Т. Теория упругости анизотропного тела. М.: Наука, 1971. 415 с.

8. *Лехницкий С.Т.* Кручение анизотропных и неоднородных стержней. М.: Наука, 1971. 240 с.
9. *Арутюнян Н.Х., Абрамян Б.Л.* Кручение упругих тел. М.: Физматгиз, 1963. 636 с.
10. *Нуриμβетов А.У.* Кручение многослойного призматического анизотропного стержня, составленного из ортотропных материалов // Вестник РУДН. Серия "Математика. Информатика. Физика". 2009. № 4. С. 64-76.
11. *Нуриμβетов А.У.* Решение задачи кручения слоистых композиционных стержней произвольного сечения методом конечных элементов // Строительная механика и расчет сооружений. 2009. №4. С.24-30.
12. *Саркисян В.С.* Некоторые задачи теории упругости анизотропного тела. Ереван: ЕрГУ, 1970. 443 с.

THE TECHNICAL THEORY OF TORSION OF A COMPOSITE LAYERED CORE OF ANY SECTION

© 2009 A.U. Nurimbetov

"MATI" – Russian State Technological University, Moscow,

Using geometrical parities Koshi it is received expressions for a component tensor deformations at "the generalised torsion" for a layer i a multilayered core of any section. The decision of the equations under the set boundary conditions is found for each layer i in the form of a sedate number. It is received the resolving equations of a method of the approached decisions.

Keywords: torsion, a layered core, the composite material, the generalised torsion.